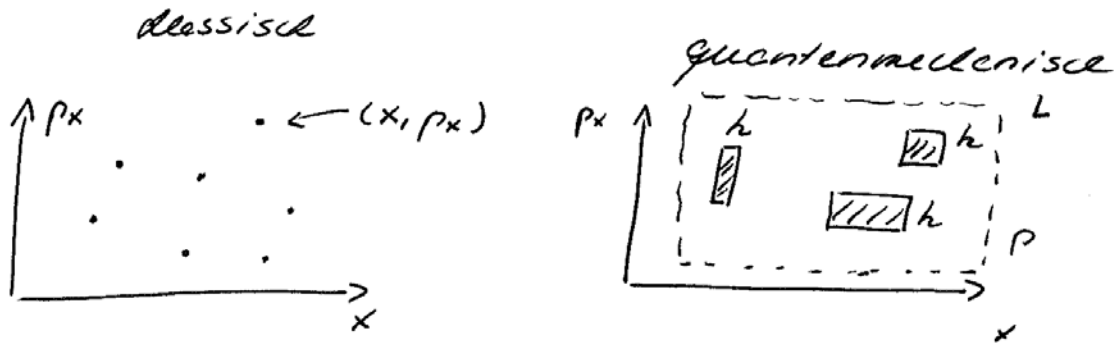


## 2.2.2) Phasenraum und Zustandsdichten

Um Teilchenzustände zu beschreiben, muss Ort und Impuls (Punkt im Phasenraum) angegeben werden.

Bsp. 1-D



wegen Unschärferelation wird Zustand durch Zelle mit Volumen  $h$  beschrieben

Wieviel Zustände passen in Phasenraumvolumen  $L \times p$ ?

$$1\text{-D: } N = \frac{Lp}{h} = \frac{Lp}{2\pi\hbar}$$

$$3\text{-D: } N = \frac{Vp^3}{h^3} = \frac{V \int dp^3}{(2\pi\hbar)^3}$$

$V$  = Normierungsvolumen

### Zustandsdichte (3D)

$$\rho = \frac{dN}{dE}$$

1 Teilchen Endzustand  $E = E_1$

$$\begin{aligned} \rho_1 &= \frac{dN_1}{dE_1} = \frac{V}{(2\pi\hbar)^3} \frac{d}{dE_1} \int d^3p_1 \\ &= \frac{V}{(2\pi\hbar)^3} \frac{d}{dE_1} \int p_1^2 dp_1 d\Omega_1 \end{aligned}$$

$$\left( \begin{array}{l} E_1^2 = p_1^2 c^2 + m^2 c^4 \\ 2E_1 dE_1 = 2p_1 dp_1 c^2 \end{array} \Rightarrow \frac{d}{dE_1} = \frac{E_1}{p_1 c^2} \frac{d}{dp_1} \right)$$

$$= \frac{V}{(2\pi\hbar)^3} \frac{E_1}{p_1 c^2} p_1^2 \int d\Omega_1$$

2 Teilchen Endzustand



$$dE = dE_1 + dE_2$$

$$+ \frac{p_1 c^2}{E_1} dp_1$$

$$p_1^2 = p_2^2$$

$$+ \frac{p_2 c^2}{E_2} dp_2$$

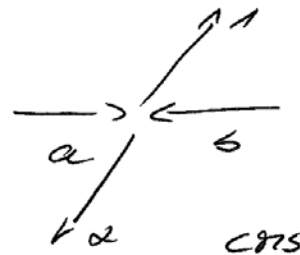
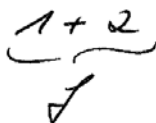
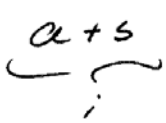
$$p_1 dp_1 = p_2 dp_2$$

$$dE = p_1 dp_1 \left( \frac{E_1 + E_2}{E_1 E_2} \right) c^2$$

$$\Rightarrow \rho_2 = \frac{V}{(2\pi\hbar)^3} \frac{E_1 E_2}{E_1 + E_2} \frac{1}{c^2} p_1 \int d\Omega_1$$

$$n\text{-Teilchen Endzustand } \rho_n = \frac{V^{n-1}}{(2\pi\hbar)^{3(n-1)}} \frac{d}{dE} \int dp_1^3 dp_{n-1}^3$$

### 2.2.3) Wirkungsquerschnitt



$$\sigma = \frac{w_{fi}}{v_i} \quad (\text{Normierungsvolumen ignoriert})$$

$v_i$  = Geschwindigkeit  $a \rightarrow b$  ( $b$  in Ruhe)

$$w_{fi} = \int \frac{2\pi}{\hbar} |\mathcal{A}_{fi}|^2 \underbrace{\frac{1}{(2\pi\hbar)^3} \frac{1}{c^2} \frac{E_1 E_2}{E_1 + E_2} p_1}_{\text{Phasenraum}} d\Omega_1$$

Phasenraum

1)  $v_i = c$  hochrelativistisch

2)  $m_i \ll E_i/c \Rightarrow$  vernachlässige Massen im Endzustand

3) CMS :  $\vec{p}_1 = -\vec{p}_2$   $E_1 + E_2 = 2p_1 c$   
 $E_1 E_2 = p_1^2 c^2$

Flußfaktor in fixed-target  
Konfiguration bestimmt (Nachtmann 19,77)

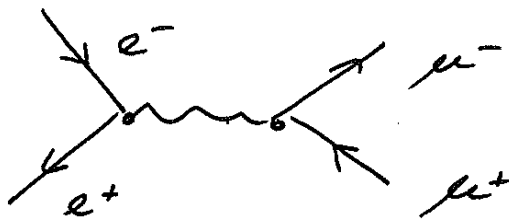
$$\begin{aligned} &\downarrow \\ d\sigma &= 2 \times \frac{2\pi}{\hbar} \frac{1}{(2\pi\hbar)^3} \frac{1}{c^3} \frac{p_1^2 c^2}{2p_1 c} p_1 |\mathcal{A}_{fi}|^2 d\Omega_1 \\ &= \frac{1}{(2\pi)^2} \frac{1}{(\hbar c)^4} p_1^2 c^2 |\mathcal{A}_{fi}|^2 d\Omega_1 \end{aligned}$$

Mit LI Phasenraumfaktor und Matrixelement:

$$d\sigma = \frac{1}{64\pi^2} \frac{1}{(\hbar c)^4} \frac{1}{(E_a + E_b)^2} \int |M_{fi}|^2 d\Omega_1$$

### 2.2.4) $e^+ e^-$ Annihilation

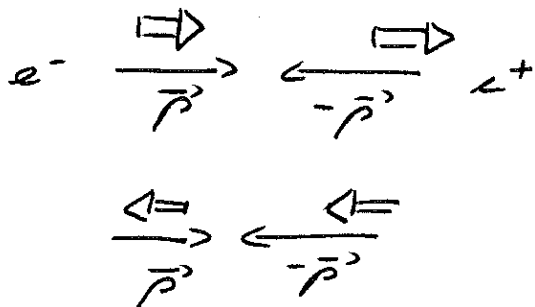
e.g.  $e^+ e^- \rightarrow \mu^+ \mu^-$



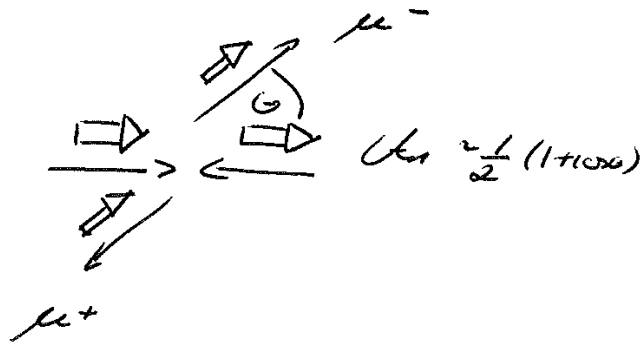
$$\mathcal{A}_{fi} \sim \frac{\alpha}{q^2} \qquad q^2 = E_{CMS}^2$$

Die angegebene Amplitude ignoriert Photon-Spin 1 und Fermionenspin 1/2

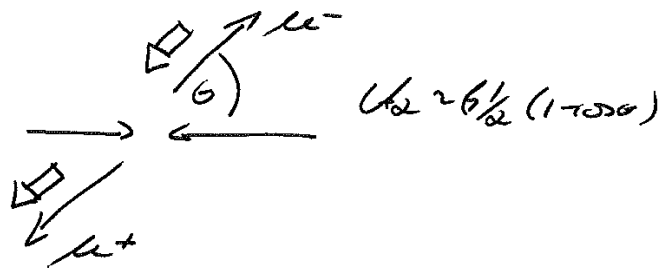
Erlaubte Konfiguration im Anfangszustand



Analog im Endzustand



(siehe Folie 4)



Addition der einzelnen Spin-Amplituden (sind unterscheidbar)

$$\begin{aligned}
 |\overline{\mathcal{A}}_{if}|^2 &= \frac{I}{4} \sum |\mathcal{A}_{if}|_{spin}^2 \\
 &= \frac{I}{4} (1 + \cos^2 \theta) \frac{(4\pi\alpha)^2}{E_{CMS}^4} (\hbar c)^6 \\
 \frac{d\sigma}{d\Omega} &= \frac{1}{(2\pi)^2} \frac{1}{(\hbar c)^4} \frac{E_{CMS}^2}{4} \underbrace{\frac{(4\pi\alpha)^2}{E_{CMS}^4} (\hbar c)^6 \frac{1}{4} (1 + \cos^2 \theta)}_{|\overline{\mathcal{A}}_{if}|^2}
 \end{aligned}$$

$$= \frac{\alpha^2}{4} \frac{1}{E_{CMS}^2} (1 + \cos \theta)^2 (\hbar c)^2$$

$$\sigma_{tot} = \int \frac{d\sigma}{d\Omega} d\Omega = \frac{4\pi\alpha^2}{3} \frac{I}{E_{CMS}^2} (\hbar c)$$

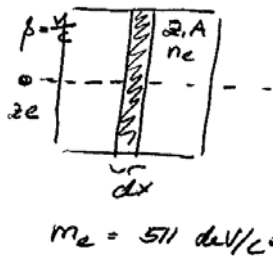
$$= \frac{87 \text{ nb}}{E_{CMS}^2 [\text{GeV}^2]}$$

(siehe Folie 5)

### 2.3 WW von Teilchen mit Materie

a) Energieverlust schwerer geladener Teilchen durch Ionisation (keine  $e^-$ )

Teilchen verlieren über Streuung durch EM WW Energie. Die Elektronen des Mediums werden in höhere Schalen angeregt oder aus den Atomen gelöst (Ionisation). Genaue Berechnung (unter Berücksichtigung aller QM-Effekte) schwierig. Mittlerer Energieverlust  $-dE$  pro Wegstrecke  $dx$  wird durch Bethe-Bloch-Formel beschrieben.



$$\frac{-dE}{dx} = \underbrace{\left( \rho N_A \frac{z}{A} \right)}_{n_e} \frac{4\pi z^2 e^4}{m_e c^2 \beta^2} \left( \ln \frac{2m_e c^2 \beta^2 \gamma^2}{I} - \beta^2 \right)$$

$n_e$   
Elektronendichte im Medium

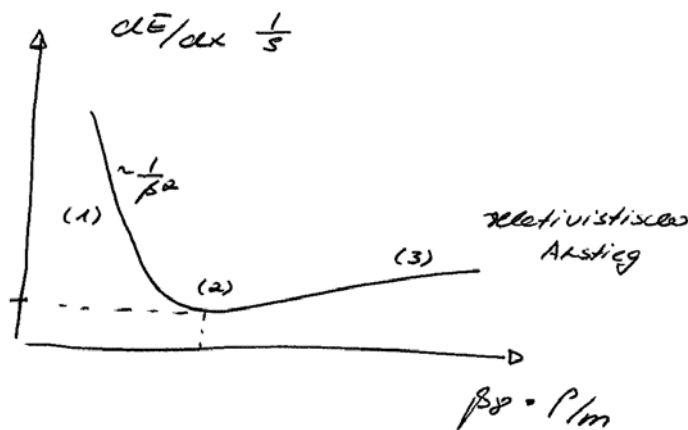
$I$ : mittleres Ionisationspotential für Elektronen (für  $z > 20$ :  $I \approx 10z \text{ eV}$ )

Die Größe  $-dE/dx \cdot \frac{1}{\rho}$  hat eine geringere Materialabhängigkeit.

$$-\frac{1}{\rho} \frac{dE}{dx} = K \frac{z}{A} z^2 \frac{1}{\beta^2} \left( \ln \frac{2m_e c^2 \beta^2 \gamma^2}{I} - \beta^2 \right)$$

$$K = 0.307 \text{ MeV cm}^2/\text{g}$$

Charakteristische Kurve:



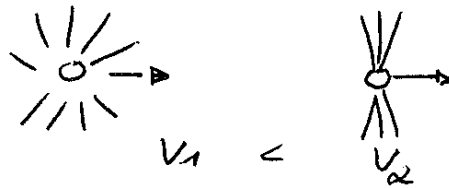
(1) Bei kleinen ( $\beta\gamma$ ):  $-\frac{dE}{dx} \frac{1}{\rho} \sim \frac{1}{\beta^2}$

Starke Ionisation durch langsame Teilchen (langsame Teilchen bleiben „stehen“)

(2) Minimum für  $\beta\gamma = p/m \approx 3-4$

$$\left( \frac{-dE}{dx} \frac{1}{\rho} \right)_{\min} \approx 1 \dots 2 \text{ MeV/g cm}^2$$

(3) Relativistischer Anstieg für große  $\beta\gamma$   
Bewegte Ladung



Transversale E-Feld Komponente nimmt zu (effektiv eine höhere Ladung)

kleiner Effekt: in 1. Näherung können Teilchen mit  $\beta\gamma > 3$  als MIP (minimal ionising particle) betrachtet werden.

empirische Bethe-Block Formel beschreibt Energieverlust im Bereich  $\beta\gamma$  in  $[0.1, -\infty]$  auf  $\pm 5\%$  genau.